———— ПОЛИКОНДЕНСАЦИЯ ——

УЛК 541.64:547.555

СИНТЕЗ НОВЫХ ТЕРМОТРОПНЫХ ПОЛНОСТЬЮ АРОМАТИЧЕСКИХ СОПОЛИЭФИРОВ НА ОСНОВЕ ГИДРОКСИБЕНЗОЙНЫХ И ГИДРОКСИДИФЕНИЛКАРБОНОВЫХ КИСЛОТ

 a Институт нефтехимического синтеза имени А.В. Топчиева Российской академии наук 119991 Москва, Ленинский пр., 29, Россия

*e-mail: pmih@ips.ac.ru
Поступила в редакцию 25.05.2022 г.
После доработки 28.06.2022 г.
Принята к публикации 07.07.2022 г.

Методом поликонденсации в расплаве соответствующих ацетильных производных синтезированы термотропные двойные полностью ароматические сополиэфиры на основе 4-гидроксибензойной и 4'-гидроксидифенил-4-карбоновой кислот и тройные сополиэфиры 4-гидроксибензойной, 4'-гидроксидифенил-4-карбоновой и 3-гидроксибензойной кислот с содержанием звеньев 4-гидроксибензойной кислоты 60—80%. Полученные сополиэфиры имеют температуру плавления ниже 400°С, а наиболее перспективные из них плавятся при температурах ниже 340°С, что дает возможность переработки их в расплаве методами экструзии, прессования, литья под давлением. Прочностные характеристики изделий из некоторых сополиэфиров сопоставимы с соответствующими механическими свойствами таких известных зарубежных аналогов, как Vectra A-950 и Zenite HX-8000. Все полученные сополиэфиры устойчивы в инертной атмосфере, по меньшей мере до 450°С. Термостабильность сополиэфиров несколько снижается при увеличении количества 3-гидроксибензойной кислоты, вводимой в состав сополиэфира.

DOI: 10.31857/S2308113922700103

ВВЕДЕНИЕ

История жидкокристаллических полимеров началась в 1937 г., когда F.C. Bawden и N.W. Pirie открыли жидкокристаллические свойства вируса табачной мозаики [1]. Позднее А. Elliott, Е.J. Амbrose обнаружили, что раствор поли(γ-бензилглутамата) в определенных условиях также обладает мезофазными свойствами [2]. Первыми синтетическими полимерами, образующими ЖК-растворы, являются поли(1,4-бензамид) и поли-*п*-фенилентерефталамид, из которого получены высокопрочные арамидные волокна Кевлар [3, 4].

Различают лиотропные жидкие кристаллы, проявляющие переход в ЖК-состояние в растворе, и термотропные соединения, образующие мезофазу при нагревании [5, 6]. Компания "Du-Pont" в 1960—1970-х годах успешно коммерциализовала арамидные волокна, получаемые из растворов, которые до сих про являются весьма востребованным материалом. Однако лиотропные системы непригодны для производства объемных изделий методом экструзии и литья под давлением, а для получения волокон требуется огромное количество растворителей и осадителей, что приводит к необходимости их регенера-

ции и утилизации отходов. Кроме того, у изделий из гидрофильных ароматических полиамидов присутствует важный недостаток, а именно, потеря механических характеристик во влажной атмосфере.

Термотропные ЖК-полимеры в этом смысле более предпочтительны, поскольку имеют более широкий круг применения, а их синтез и переработка технологичнее и экологичнее. По характеру расположения мезогенных групп выделяют термотропные ЖК-полимеры с мезогенными группамми в главной цепи и мезогенными группами в боковой цепи [5, 7–9]. Термотропные полимеры могут быть представителем различных классов соединений [9], но в качестве конструкционных материалов наибольшее распространение получили термотропные полиэфиры с мезогенными группами в главной цепи.

Для данных полиэфиров характерно наличие в основной цепи жестких 1,4-фениленовых, 2,6-нафтоиленовых, 4,4'-бифениленовых и других функциональных групп, соединенных между собой химическими связями под углом 180°С [8—12]. Температуры плавления/размягчения таких полимеров могут превышать их термостойкость, по-

этому для снижения температур переработки в макромолекулы зачастую вводят так называемые "изогнутые" фрагменты — несимметричные ароматические мономеры, звенья с объемными заместителями или гибкие алифатические "развязки". Связь структуры и свойств полиэфиров с мезогенными группами в главной цепи детально рассмотрена в обзорах [8, 9].

Особенность ЖК-состояния вещества как промежуточного между кристаллическим и аморфным состоит в реализации жесткими макромолекулами одномерного или двухмерного порядка при сохранении текучести [9]. Данное обстоятельство приводит к тому, что макромолекулы ЖК-полимеров, уже "уложенные" параллельно друг другу, приобретают предпочтительную ориентацию уже при течении. Благодаря этой особенности, из ЖК-полимеров можно изготавливать изделия с уникальными механическими характеристиками.

Отличительными свойствами термотропных сополиэфиров являются относительно низкая вязкость расплавов, облегчающая их переработку, высокие хемо-, радио-, атмосферостойкость и теплостойкость, ударная вязкость, хорошие усталостные свойства, большие значения модуля Юнга и напряжения при разрыве, а также низкий коэффициент термического расширения [7, 10-12]. Кроме того, термотропные полиэфиры могут применяться и для получения смесевых композиций с термопластами [10]. Так называемые "сотposites in situ" формируются из расплавов обычного и ЖК-термопластов, образующих эмульсии с жидкокристаллической дисперсной фазой. При переработке, например, при экструзии капли ЖК-полимера вытягиваются в тонкие нити, трансформирующиеся в высокопрочные армирующие волокна в готовом изделии [10].

Первый успешно коммерциализованный термотропный полностью ароматический инженерный полимер представлял собой сополимер 4гидроксибензойной кислоты (**4-ГБК**), 4,4'-дифенола, терефталевой кислоты (ТФК) и изофталевой кислоты ($\mathbf{И}\mathbf{\Phi}\mathbf{K}$) [11—14]. Сополиэфиры на основе этих четырех компонентов до сих пор являются востребованным, что подтверждается их коммерческой доступностью и большим количеством патентов, в том числе и недавних [15]. В компании "Eastman-Kodak" получен [11, 12, 16, 17] термотропный сополиэфир полиэтилентерефталата (ПЭТФ) и 4-ГБК, известный под торговой маркой X7G (аналогичный сополиэфир также производился японской компанией "Unitika" под торговой маркой "Rodrun"). Позднее в компании "Celanese" был разработан термотропный сополиэфир на основе 4-ГБК и 6-гидрокси-2-нафтойной кислоты (Γ HK) [18]. Следует отметить, что сополиэфиры ПЭТФ-4-ГБК являются полуароматическими (или алкиленароматическими) в отличие от полностью ароматических (полиариленов). Последние превосходят полуароматические полиэфиры не только по тепло- и термостойкости, но и по механическим характеристикам.

В настоящее время ЖК-полимеры широко применяются в разных областях, в том числе как прекурсоры для получения высокопрочных волокон, разделительных мембран, высокопрочных инженерных пластиков, фотоэлектронных преобразователей, материалов для нелинейной оптики, подложек для печатных плат и т.д. [5—13, 19].

В России в 1980—1990-х годах велись активные научные исследования в области синтеза термотропных полуароматических сополиэфиров [20—22] и было даже организовано их мелкомасштабное производство. К сожалению, из-за трудностей экономического характера в те годы производство данных полимеров не было выведено на промышленный уровень.

В настоящей работе мы синтезировали серию термотропных полностью ароматических сополиэфиров по реакции ацидолизной поликонденсации [23] смеси 4-ацетоксибензойной (4-АБК), 3-ацетоксибензойной (3-АБК) и 4'-ацетоксидифенил-4-карбоновой кислот (4-АБКК). Использованные в качестве сомономеров ацетоксикислоты обладают значительно более низкой температурой плавления (до 220-225°C) по сравнению с высокоплавкой ТФК (выше 400°C), что потенциально позволяет получать полимеры с более высокой композиционной однородностью. Согласно ранее полученным данным, включение в структуру сополиэфиров дифенильных звеньев позволяет ожидать более высоких значений температур стеклования по сравнению с термотропными сополиэфирами на основе только 4-ГБК [24-26].

ЭКСПЕРИМЕНТАЛЬНАЯ ЧАСТЬ

Исходные мономеры 4-гидроксибензойная и 3-гидроксибензойная кислоты не хуже квалификации ч, в случае необходимости, перекристаллизовывали из горячей воды. 4'-ацетоксидифенил-4-карбоновая кислота (4-АДКК) любезно предоставлена Г.Н. Кошелем (Ярославский государственный технический университет). Чистота 4-АДКК перед использованием проверена методом ЯМР на ядрах 1 Н в ДМСО- 4 С (ЯМР 1 Н 300 МГц, δ 8.01 (д, J = 8.1 Гц, 2H), 7.84—7.68 (м, 4H), 7.23 (д, $J = 8.5 \, \Gamma$ ц, 2H), 2.27(c, 3H)). 3-АБК и 4-АБК кислоты получены кипячением в течение 2 ч с обратным холодильником при избытке 20-30% уксусного ангидрида в смеси с толуолом с последуюпромывкой петролейным эфиром высушиванием, согласно ранее описанной методике [27]. Чистота полученных мономеров подтверждена методом ЯМР на ядрах ¹H в хлороформе-d.

Синтез небольших количеств сополиэфиров проведен двумя методами.

Одностадийный метод

Навеску 10-15 г АБК и остальных сомономеров (количество остальных мономеров рассчитано, исходя из требуемого композиционного состава) загружали в трехгорлую колбу объемом 100 мл, снабженную механической мешалкой, вводом для инертного газа и выводом к масляному вакуумному насосу. После продувки азотом или аргоном высокой чистоты (10-15 мин) колбу погружали в баню со сплавом Вуда, предварительно нагретую до 240-250°C и перемешивали в токе инертного газа, постепенно повышая температуру до 320-360°C. Завершающий этап поликонденсации (последние 15-40 мин) проводили в вакууме, визуально контролируя изменение вязкости в реакционной колбе и упругости – по наматыванию расплава на мешалку. По достижении необходимой вязкости синтез завершали, а продукт выгружали на полиимидную пленку.

Двустадийный метод

Высокоплавкие двойные сополиэфиры 4-АБК: $: 4-\Gamma BKK = 60 : 40 (T\Pi 60/40), 4-ABK : 4-\Gamma BKK =$ $= 70 : 30 (T\Pi 70/30)$ и тройного сополиэфира $4-ABK: 4-\Gamma BKK: 3-\Gamma BK = 70: 30: 10 (T\Pi 60/30/10)$ синтезировали в две стадии. Аналогично одностадийному синтезу навеску мономеров перемешивали в трехгорлой колбе в инертной атмосфере, постепенно нагревая до 300°C. Перемешивание продолжали до затвердевания реакционной смеси. После этого хрупкий форполимер выгружали из колбы и измельчали. Вторую стадию – твердофазную дополиконденсацию проводили в трубчатой печи в токе инертного газа. ТП60/40 нагревали с 150 до 300°C в течение 4 ч 25 мин, затем выдерживали 2 ч при 300°C. ТП70/30 и $T\Pi60/30/10$ нагревали до 200° C в течение 40 мин, затем в течение 4 ч до 300°C. Температуру 300°C поддерживали еще 2 ч, затем продукт охлаждали в токе инертного газа.

Масштабирование синтеза

Синтез сополимера состава 4-АБК : 4-ГБКК : 3-AБK = 70:20:10 осуществляли в трехгорлой колбе емкостью 500 мл, аналогично одностадийному методу, используя навеску, содержащую $100.00\,\mathrm{r}$ 4-ацетоксибензойной кислоты (555.6 ммоля, $70\,\mathrm{mon}$. %), $40.63\,\mathrm{r}$ 4'-гидроксидифенил-4-карбоновой кислоты (158.7 ммоля, $20\,\mathrm{mon}$. %) и $14.3\,\mathrm{r}$ (79.4 ммоля, $10\,\mathrm{mon}$. %) $3\mathrm{-AБK}$. Колбу нагревали до $240^{\circ}\mathrm{C}$ на $40\,\mathrm{muh}$ при перемешивании в токе азота, затем температуру повышали в течение $130\,\mathrm{muh}$ до $330^{\circ}\mathrm{C}$. Через $35\,\mathrm{muh}$ температуру увеличивали до $360^{\circ}\mathrm{C}$, а через $35\,\mathrm{muh}$ поликонденсацию продолжили в вакууме в течение $60\,\mathrm{muh}$.

В результате смесь загустела, и дальнейшее перемешивание оказалось не эффективно. После охлаждения в токе аргона верхнюю часть содержимого колбы (около половины по массе) отделяли. Поликонденсацию содержимого нижней части колбы продолжали при температуре 360°C в течение 180 мин в вакууме. Полученный полимер (ТП70/20/10-1) имел условную логарифмическую вязкость 17.6. Извлеченное содержимое верхней части колбы представляло собой низкомолекулярный продукт. Его измельчали и подвергали твердофазной поликонденсации в токе инертного газа при следующих условиях: 200°C — $150 \text{ мин}, 250^{\circ}\text{C} - 120 \text{ мин}, 290^{\circ}\text{C} - 120 \text{ мин}.$ После указанной процедуры условная логарифмическая вязкость полимера (образец ТП70/20/10-2) возросла до 21.6.

Значение условной логарифмической вязкости η_y , измеренное для раствора в пентафторфеноле на вискозиметре Оствальда при температуре 60 ± 0.1 °C, вычисляли по формуле, ранее использованной в патентной литературе [18]:

$$\eta_{y} = \frac{\ln\left(\frac{t}{t_{0}}\right)}{c},\tag{1}$$

где t и t_0 — время истечения раствора полимера и растворителя, соответственно, c — концентрация полимера 0.1 г полимера в 100 г пентафторфенола.

Исследования методом ДСК проводили на приборе термического анализа DSC 3+ ("Mettler Toledo", Швейцария) в неизотермическом режиме. Температуры стеклования T_g , плавления T_m и тепловой эффект плавления ΔH_m определяли во втором цикле нагревания при скорости повышения температуры 10 град/мин в температурном диапазоне 25—400°С в атмосфере аргона. Температуру кристаллизации T_c определяли в первом цикле охлаждения со скоростью 10 град/мин.

Термогравиметрический анализ сополиэфиров выполняли с помощью синхронного термогравиметрического анализатора TGA/DSC 3+при нагревании в инертной атмосфере до 1000°C со скоростью 10 град/мин.

Оптические свойства тонких пленок расплавов сополиэфиров исследовали с помощью поляризационного микроскопа 6 ПО ("Биомед", Россия), оборудованного нагревательным столиком для микропрепаратов FP900 Thermosystem ("Mettler", США) и фото/видеокамерой E3ISPM5000 ("ToupTek Photonics Co", Китай), в режиме последовательного нагревания до 375°С и охлаждения до 25°С.

Тонкие пленки полимеров изготавливали с помощью лабораторного гидравлического пресса между алюминиевыми пластинами, покрытыми

4-ГБК. 4-ГДКК. 3-ГДКК. T_g , °C T_m ,°C ΔH_m , Дж/г T_c , °C Образец η_{v} мол. % мол. % мол. % 4.2 ТП60/40 60 40 390.0 331.3 $T\Pi 60/20$ 60 20 20 4.6 112.4 313.2 0.9 ΤΠ70/30 70 30 30.7 343.9 7.17 309.4 ΤΠ70/25/5 70 5 332.2 2.97 270.5 25 14.3 ΤΠ70/20/10 70 107.3 314.7 20 10 4.7 0.6 ΤΠ70/10/20 70 10 20 10.2 135.0 353.6 1.74 ТП75/25 75 25 371.0 7.17 320.4 ΤΠ75/20/5 75 20 5 1.9 338.6 3.17 281.9 ΤΠ75/15/10 75 15 10 340.9 3.70 286.4 6.3 ΤΠ70/20/10-1 70 20 10 17.6 Не исследовали ΤΠ70/20/10-2 70 21.6 109 20 10 315.3 1.92 260.0

Таблица 1. Состав и свойства композиций

Примечание. η_y — условная логарифмическая вязкость, T_g — температура стеклования, T_m — температура плавления, ΔH_m — тепловой эффект плавления, T_c — температура кристаллизации.

полиимидной пленкой. Толщина пленок сополиэфиров составляла 0.1—0.3 мм.

Объемные образцы для физико-механических испытаний получали с помощью литья под давлением на лабораторной литьевой машине IM12 ("Xplore", Нидерланды) с выдержкой образца под давлением в течение 30 с.

Механические испытания проводили на разрывной машине "Instron 1122" (Великобритания). Скорость растяжения 10 мм/мин, рабочая длина образца 10 мм.

РЕЗУЛЬТАТЫ И ИХ ОБСУЖДЕНИЕ

Двойные сополиэфиры на основе 4-ГБК и 4-ГДКК и тройные сополиэфиры 4-ГБК, 3-ГБК и 4-ГДКК получали в соответствии с уравнением

Поскольку сополиэфиры на основе 4-ГБК. 4-ГДКК, 3-ГБК являются изоструктурными известным сополиэфирам на основе 4-ГБК, дифенолтерефталат/изофталата, предполагаемый оптимальный композиционный состав был определен, исходя из известных для этого сополиэфира данных. Согласно патентной литературе, такие сополиэфиры обычно содержат 60-75 мол. % звеньев 4-ГБК. В связи с этим за основу был предложен состав, содержащий 60-75 мол. % 4-ГБК, а количество остальных сомономеров варьировалось. Таким образом, было получено три серии сополиэфиров – ТП60, ТП70 и ТП75 (табл. 1). Дополнительно, был синтезирован сополиэфир ТП80/10/10 (80 мол. % 4-ГБК, 10 мол. % 4-ГДКК, 10 мол. % 3-ГБК).

На начальном этапе синтеза каждого из сополиэфиров после плавления сомономеров образовывался прозрачный расплав, который через не-

большой промежуток времени приобретал мутность, что косвенно указывает на присутствие мезофазы. Как уже говорилось, конечную стадию поликонденсации (15—40 мин) проводили в вакууме. По достижению необходимой вязкости поликонденсацию прекращали, а полимер выгружали. Для синтеза наиболее высокоплавких сополиэфиров ТП60/40, ТП70/30 и ТП60/30/10 был применен двустадийный метод: поликонденсация в расплаве с последующей твердофазной дополиконденсацией. Для сополиэфиров, растворимых в пентафтофеноле, были определены значения условной логарифмической вязкости при 60°С. Состав и свойства синтезированных композиций представлены в табл. 1.

Термические свойства сополиэфиров

Результаты ДСК приведены в табл. 1 и на рис. 1, а на рис. 2 показаны зависимости температуры

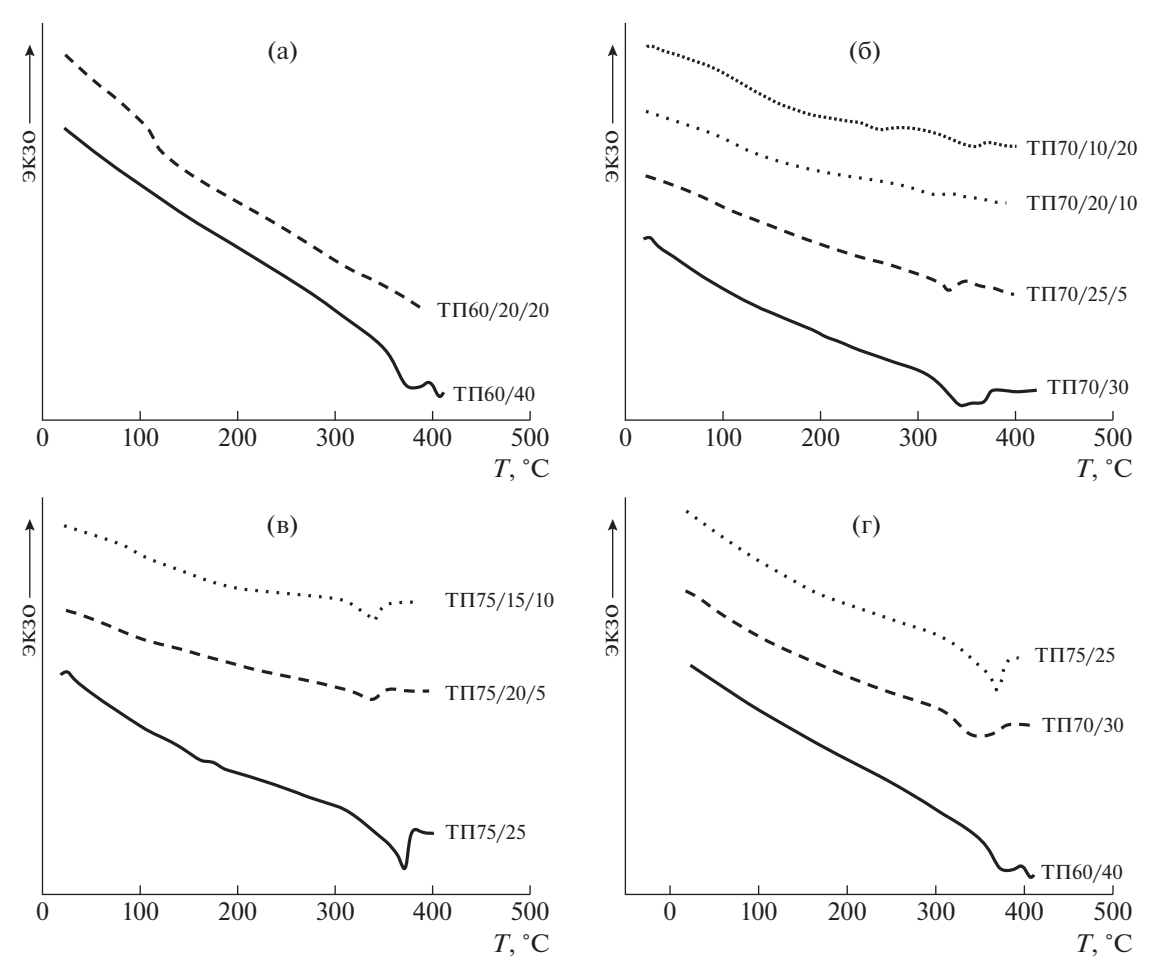


Рис. 1. Термограммы ДСК второго цикла нагревания тройных сополиэфиров ТП60 (а), ТП70 (б), ТП75 (в) и двойных сополиэфиров ТП60/40, ТП70/30 и ТП75/25 (г). Цветные рисунки можно посмотреть в электронной версии.

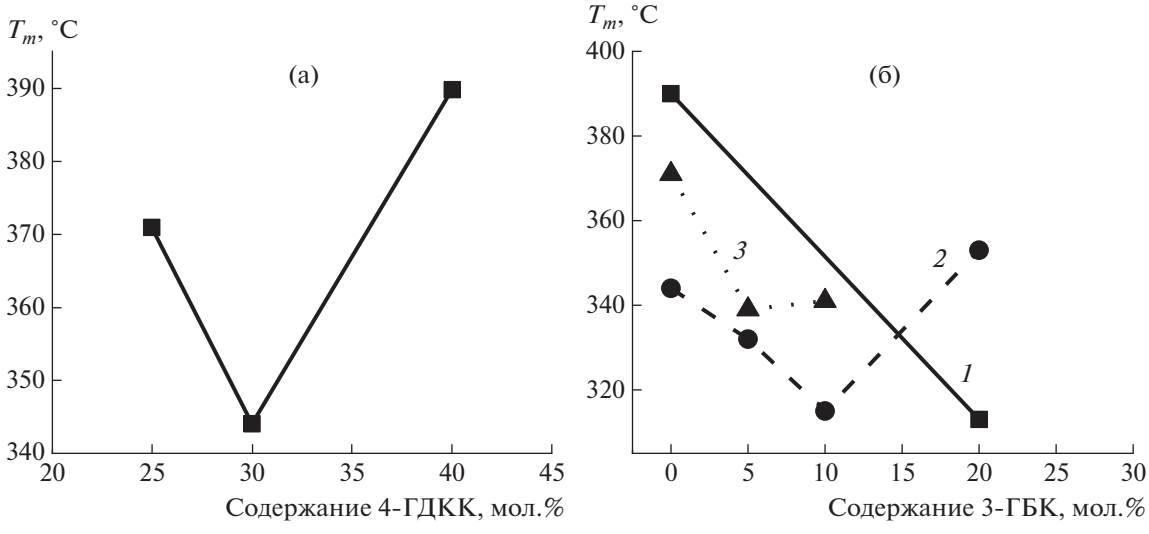


Рис. 2. Зависимость температуры плавления от состава для двойных сополиэфиров 4-ГБК—4-ГДКК (а) и тройных сополиэфиров 4-ГДКК—4-ГБК—3-ГБК (б). Содержание 4-ГБК 60 (I), 70 (I) и 75% (I).

плавления от состава для двойных и тройных сополиэфиров. Из представленных данных следует, что двойные сополиэфиры 4-ГБК—4-ГДКК (ТП60/40, ТП70/30, ТП75/25) способны к плавлению или размягчению при температурах ниже 390°С. Такие сополиэфиры содержат только фенильные

Образец	$\eta_{ m y}$	Температура формования, °С	Модуль упругости, МПа	Удлинение при разрыве, %	Прочность, МПа
ТП60/40	_	370	720 ± 190	3.8 ± 0.8	21 ± 4.5
ТП60/30/10	12.3	340	1090 ± 51	11.6 ± 1.8	57 ± 7
ТП60/30/10-1	23.3	330	1560 ± 130	9.4 ± 4.1	71 ± 17
ТП60/25/15	7.34	300	1340 ± 120	9.1 ± 3.8	50 ± 6
ТП60/25/15-1	6.9	310	1580 ± 290	6.9 ± 1.7	61 ± 14
ΤΠ60/20/20	4.6	310	1520 ± 120	6.7 ± 1.6	52 ± 7
ТП60/20/20-1	9.5	300	1700 ± 190	10.7 ± 3.0	88 ± 22
ТП70/30	30.7	360-370	930 ± 180	20.6 ± 5.9	48 ± 15
ΤΠ70/25/5	14.3	340	1530 ± 210	9.2 ± 1.1	57 ± 5
ΤΠ70/15/15	4.7	320	1660 ± 160	9.3 ± 3.0	69 ± 7
ΤΠ70/10/20	10.2	320	16 ± 180	2.6 ± 1.3	28 ± 10
ТП75/25	_	340	715 ± 62	4.6 ± 1.1	28 ± 3
ΤΠ75/20/5	1.9	340	1600 ± 140	10.0 ± 2.8	69 ± 15
ΤΠ75/15/10	6.26	320	1770 ± 240	4.2 ± 1.1	68 ± 27
ΤΠ80/10/10	_	Плохо формуется	_	_	_
Vectra A-950	Не исследовали	280	1770 ± 230	18.8 ± 4.1	77 ± 11

Таблица 2. Механические характеристики тонких пленок

или дифенильные звенья, соединенные в *пара*положении, т.е. не содержат звеньев, искривляющих макромолекулярную цепь.

Указанные значения температур плавления несколько ниже, чем для описанных ранее сополиэфиров на основе 67 мол. % 4-ГБК и 33 мол. % дифенолтерефталата [14] (около 400°С), имеющих схожее строение. Это может быть объяснено более высокой степенью композиционной однородности сополиэфиров, полученных из ацетоксикислот, поскольку хаотичность расположения звеньев в макромолекуле снижает температуру плавления, в то время как блочность приводит к ее повышению [28].

Из трех двойных сополиэфиров ТП60/40, $T\Pi70/30$ и $T\Pi75/25$, сополиэфир $T\Pi70/30$ имеет наименьшую температуру плавления (343.9°C) и оказывается растворимым в пентафторфеноле, что свидетельствует о наибольшем эффекте ослабления трансляционной симметрии, вызванной сополимеризицией. В ряду тройных сополиэфиров наиболее низкой температурой плавления характеризуются сополиэфиры ТП70/20/10, ТП70/20/10-2 ($T_m \sim 315^{\circ}$ C) и ТП60/20/20 ($T_m =$ = 313.2°C). В серии ТП75 самым низкоплавким оказался $T\Pi75/20/5$ ($T_m = 338.6$ °C). Относительно невысокие точки плавления (332-341°C) наблюдаются у сополиэфиров ТП70/25/5, ТП75/20/5 и ТП75/15/10. Влияние молекулярной массы на температуру плавления незначительно: точка плавления более высокомолекулярного ТП70/20/10-2 $(\eta_y = 21.6)$ на ~ 1°C выше, чем температура плавления $T\Pi 70/20/10$ ($\eta_v = 4.7$).

Для всех исследованных тройных сополиэфиров характерны крайне низкие тепловые эффекты (0.6—4.2 Дж/г), что указывает на незначительную кристалличность, т.е. они фактически аморфны. Тем не менее, для тройных сополиэфиров при первом цикле охлаждения проявляются слабо выраженные экзотермические тепловые эффекты кристаллизации с пиками при 50—60°С. В случае двойных сополиэфиров ТП75/25, ТП70/30 и ТП60/40 наблюдается меньшая разница между температурами плавления и кристаллизации.

Характерной особенностью сополиэфиров являются слабо выраженные релаксационные переходы, связанные со стеклованием. Для сополиэфиров с содержанием 3-ГБК звеньев до 5% невозможно определение температуры стеклования методом ДСК. Это обусловлено тем, что для статистических жесткоцепных термотропных сополиэфиров релаксационные переходы выражены слабо, следовательно, чувствительность метода ДСК недостаточна для определения T_{g} [29]. Сказанное подтверждает то обстоятельство, что у сополиэфиров серии ТП70 происходит повышение температуры стеклования с увеличением содержания 3-ГБК, связанное с присутствием "изогнутых" звеньев 3-ГБК, снижающих жесткость макромолекул по сравнению с линейными звеньями 4-ГБК и 4-ГДКК [30, 31]. Аналогичное увеличение T_g ранее наблюдалось для сополиэфиров 4-ГБК и 3-ГБК, а также для сополиэфиров n-фенилентерефталата и 3-ГБК [31].

Результаты ТГА представлены в табл. 2 и рис. 3. Под температурой деструкции T_d в табл. 2 прини-

мается точка минимума на кривой дифференциальной термической гравиметрии. Судя по данным рис. 3, все сополиэфиры имеют температуру 5%-ной потери массы выше 450°С, что согласуется с результатами, полученными для других полностью ароматических сополиэфиров. Коксовый остаток при 1000°С находится в пределах 35—40%, причем наиболее ярко влияние состава на этот показатель прослеживается на примере двойных и тройных сополимеров ТП75 (рис. 3в), для которых введение третьего сомономера — несимметричной 3-ГБК явно снижает термостабильность в высокотемпературной области.

В ряду двойных сополиэфиров на несколько градусов повышается температура деструкции с увеличением содержания 4-ГДКК (ТП60/40 интенсивно разлагается при 533.5°С, а ТП75/25 — при 527.5°С). Этот результат согласуется с приведенными в работе [32] для гомополимеров 4-ГБК и 4-ГДКК данными: у последних термостабильность выше. Температура деструкции тройных сополиэфиров заметно уменьшается с увеличением содержания 3-ГБК. В серии ТП60/40 потери массы T_d снижается с 533.5° для ТП60 до 494.5°С для ТП60/20/20. Аналогичная закономерность наблюдается для серии ТП70: T_d = 518°С для ТП70/20/10 и 504.1°С для ТП70/10/20.

Подобное уменьшение термостабильности при повышении содержания 3-ГБК ранее описаны для других полностью ароматических сополиэфиров [30, 31].

Все исследованные сополиэфиры даже в тонких слоях непрозрачны при комнатной температуре. Расплавы сополиэфиров "светятся" при наблюдении в поляризационном оптическом микроскопе в скрещенных поляроидах. Как видно на рис. 4, для сополиэфира ТП70/20/10 наблюдается текстура, характерная для нематических жидких кристалов. У всех сополиэфиров температура прояснения лежит выше предела измерения (400°С) и на термограммах не наблюдается эндотермический переход, связанный с изотропизацией. Высокие температуры изотропизации, лежащие выше температуры разложения, это тисвойство термотропных полностью пичное ароматических полиэфиров с мезогенными группами в главной цепи.

Для оценки формуемости и механических характеристик из синтезированных сополиэфиров с помощью гидравлического пресса с при 375°С были получены пленки толщиной 0.1—0.3 мм. В случае составов сополиэфиров, отвечающих ТП60/30/10, ТП60/25/15 и ТП60/20/20, для сравнения были испытаны образцы, различающиеся значением условной логарифмической вязкости: ТП60/30/10-1, ТП60/25/15-1 и ТП60/20/20-1, что позволило оценить роль молекулярной массы в

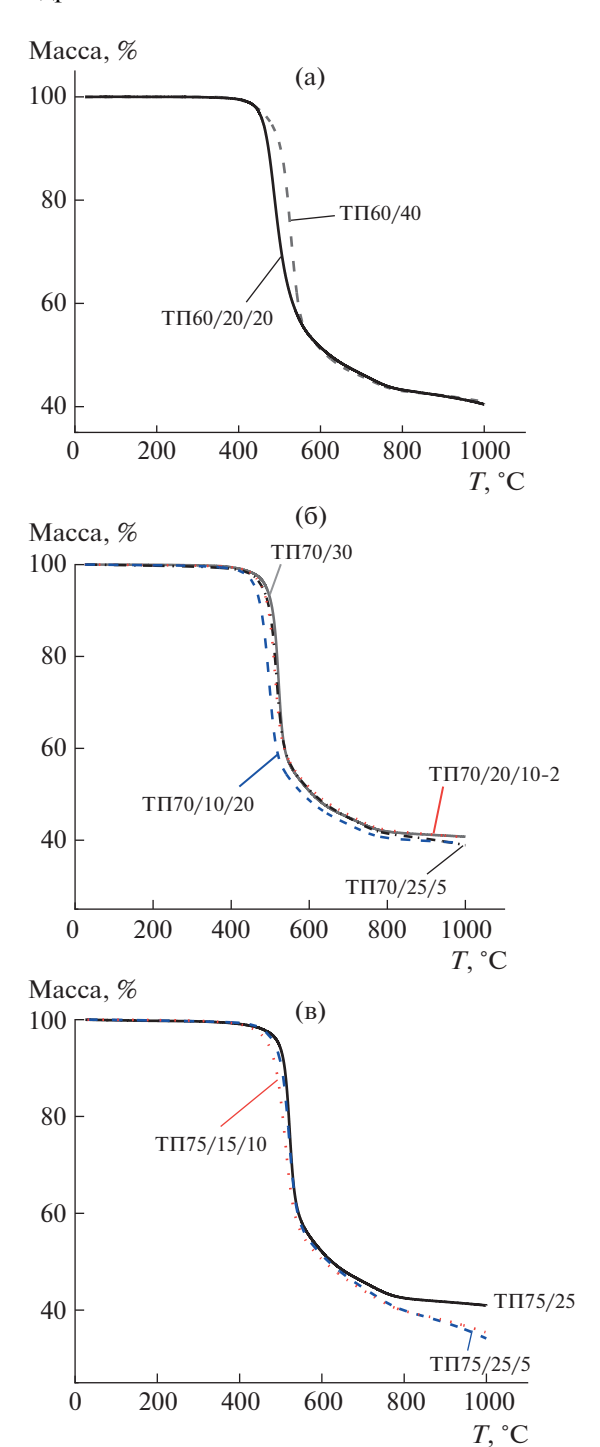


Рис. 3. Термограммы ТГА в инертной атмосфере серий сополиэфиров ТП60 (a), ТП70 (б) и ТП75 (в).

механических свойствах. Результаты испытаний приведены в табл. 2.

Максимальная температура, при которой возможно формование тонких пленок составляет 360—370°С, поскольку использованная при прессовании антиадгезионная полиимидная пленка

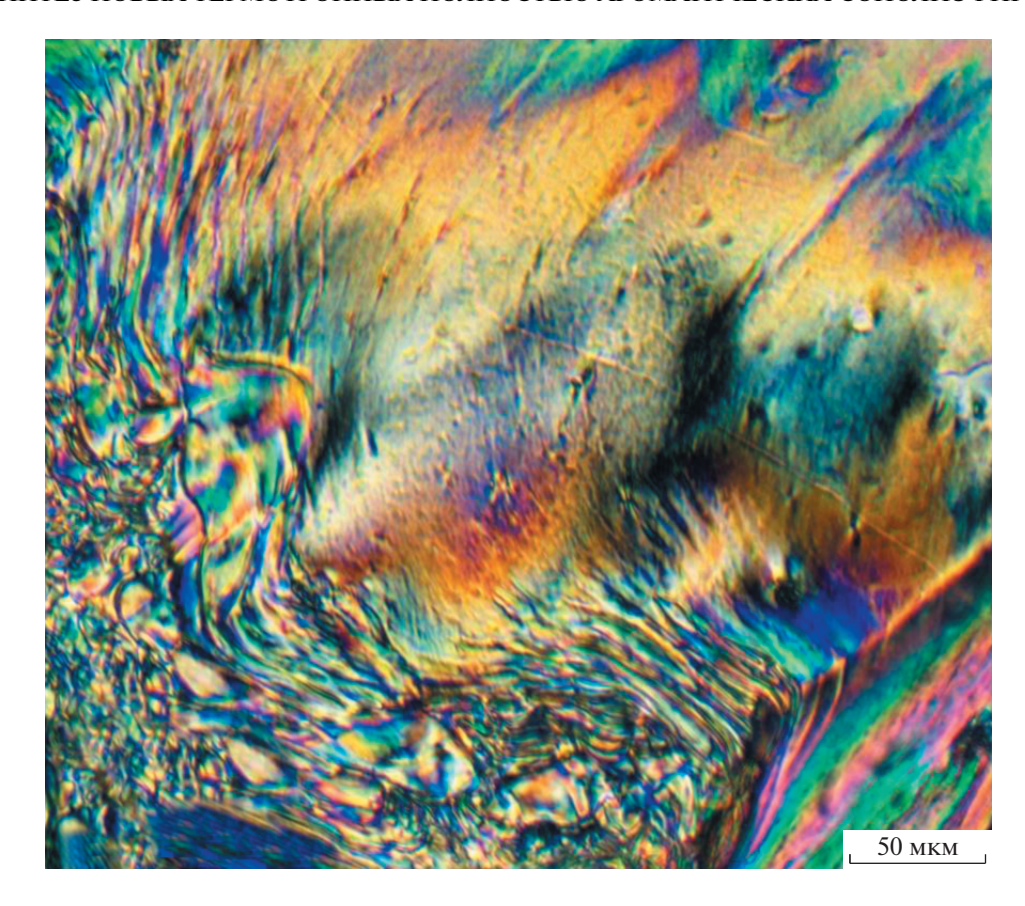


Рис. 4. Оптическая микрофотография в скрещенных поляроидах образца сополиэфира $T\Pi60/20/20$, полученного быстрым охлаждением на воздухе от 350° C.

разрушается при более высоких температурах. Для сравнения были также получены тонкие пленки сополиэфира Vectra A-950 (27% ГНК, 73% ГБК). На формуемость пленок, т.е. на пластические деформации при повышенных температурах сильно влияет состав сополиэфиров. Из полученных двойных сополиэфиров удалось получить пленки при температурах до 370°С, и их прочностные характеристики несколько хуже прочностных характеристики тройных сополиэфиров. По-видимому, это связано с необходимостью их переработки при более высоких температурах. Благодаря наименьшей температуре плавления, наилучшие механические характеристики демонстрирует ТП70/30.

С повышением молекулярной массы образца прочность и модуль упругости несколько возрастают. Самые лучшие формуемость и механические характеристики продемонстрировали сополиэфиры в серии ТП 60 — ТП60/30/10, ТП60/25/15, ТП60/20/20, в серии ТП70 — ТП70/20/10 и ТП70/15/15, в серии ТП75 — ТП75/20/5 и ТП75/15/10. Прочностные характеристики пленок оказались сравнимы с прочностными характеристиками пленок сополиэфира Vectra A-950.

Из полученных в больших количествах образцов ТП70/20/10-1 и ТП75/20/10-2 методом литья под давлением были сформованы изделия в форме "лопаток". Для сравнения аналогичные "лопатки" были получены из коммерчески доступных ненаполненных термотропных сополиэфиров: Rodrun LC-5000 ("Unitika") — полуароматический сополиэфир ПЭТФ/4-ГБК (80/20 мол. %), Vectra A-950 ("Celanese") полностью ароматический сополимер 6.2-ГНК и 4-ГБК, Zenite HX-8000 ("DuPont") — сополимер ТФК, 4-ГБК и производных гидрохинона [33]. Их механические характеристики приведены в табл. 3.

Как видно из результатов механических испытаний "лопаток", сополиэфиры ТП70/20/10-1 и ТП70/20/10-2 превосходят по прочности полуароматический сополиэфир Rodrun LC-5000, но несколько уступают сополиэфирам Vectra A-950 и Zenite HX-8000. Максимальные механические свойства демонстрируют изделия из сополиэфира Vectra A-950, по-видимому, благодаря более высокой композиционной однородности, присущей синтезу через гидроксикислоты.

Образец	η_y	$T_p/T_{\phi},$ °C	Модуль упругости, МПа	Удлинение при разрыве, %	Прочность, МПа
ТП70/20/10-1	17.6	320/100	1620 ± 140	10.1 ± 1.9	135 ± 17
ТП70/20/10-1	17.6	335/100	1620 ± 140	9.4 ± 2.1	100 ± 19
ΤΠ70/20/10-2	21.6	320/100	1650 ± 260	9.0 ± 2.3	109 ± 17
Zenite HX800	_	280/70	2220 ± 310	12.7 ± 2.2	166 ± 28
Vectra A950	_	295/80	1890 ± 290	22.0 ± 3.4	213 ± 20
Rodrun LC5000	_	280/70	1550 ± 175	12.1 ± 1.8	114 ± 7

Таблица 3. Механические характеристики изделий, полученных методом литья под давлением

Примечание. T_p — температура расплава, T_d — температура формы.

ЗАКЛЮЧЕНИЕ

Успешно синтезированы термотропные полностью ароматические сополиэфиры на основе 4-ГДКК и 4-ГБК методом поликонденсации в расплаве ацетильных производных соответствующих ароматических гидроксикислот. Особенность использованной методики состоит в том, что на всех этапах синтеза реакционная смесь однофазна, что потенциально позволяет получать сополиэфиры, не содержащие блочных последовательностей. Методом ДСК установлено, что двойные сополиэфиры 4-ГДКК-4-ГБК с содержанием 60-75 мол. % обладают температурой плавления выше 340°C, что делает их трудно перерабатываемыми. Введение в качестве третьего сомономера 5-20 мол. % 3-ГБК позволяет понизить температуру плавления до ~315°C. Вместе с тем увеличение содержание 3-ГБК выше 10 мол. % приводит к заметному уменьшению термостабильности, что необходимо учитывать при прогнозировании эксплуатационных характеристик этих полимеров. Детальный анализ как синтетических процедур, так и условий переработки показал, что мольное соотношение мономеров 70-75% 4-ГБК, 15-25% 4-ГДКК и 5-15% 3-ГБК наиболее предпочтительно для получения конструкционных пластиков. Для указанных составов удается получить полимеры, перерабатываемые при температурах ниже 340-350°C, снизить количество более дорогих и менее доступных сомономеров 3-ГБК и 4-ГДКК за счет увеличения содержания доступной и недорогой 4-ГБК. Сополиэфир, полученный из 70 мол. % АБК, 20 мол. % АДКК и 10 мол. % 3-АБК перерабатывается методом литья под давлением при температуре 320-335°C. Механические испытания образцов полимера данного состава обладают прочностными характеристиками, сравнимыми с коммерчески доступными аналогами. Дальнейшие работы в этом направлении позволят получать высокопрочные изделия, с характеристиками не хуже зарубежных аналогов.

Работа выполнена в рамках госзадания ИНХС РАН при финансовой поддержке Российского научного фонда (проект 17-79-30108).

СПИСОК ЛИТЕРАТУРЫ

- 1. *Bawden F.C., Pirie N.W.* // Proc. Roy Soc. London. B. 1937. V. 123. № 832. P. 274.
- Elliott A., Ambrose E.J. // Disc. Faraday Soc. 1950.
 V. 9. P. 246.
- 3. Kwolek S.L., Morgan P.W., Schaefgen J.R., Gulrich L.W. // Macromolecules. 1977. V. 10. № 6. P. 1390.
- 4. Kwolek S.L. Pat. 3671542 USA. 1972.
- Lyu Xiaolin, Xiao Anqi, Shi Dong, Li Yujie, Shen Zhihao, Chen Er-Qiang, Zheng Shijun, Fan Xing-He, Zhou Qi-Feng // Polymer. 2020. V. 202. P. 122740.
- 6. *Куличихин В.Г., Малкин А.Я., Папков С.П.* // Высокомолек. соед. А. 1984. Т. 26. № 3. С. 451.
- 7. Deberdeev T.R., Akhmetshina A.I., Karimova L.K., Ignat'eva E.K., Deberdeev R.Ya., Berlin A.A. // Polymer Science C. 2020. V. 62. № 2. P. 145.
- 8. *Han H.S.*, *Bhowmik P.K.* // Progr. Polym. Sci. 1997. V. 22. № 7. P. 1431.
- 9. *Jin J.I.*, *Kang C.S.* // Progr. Polym. Sci. 1997. V. 22. № 5. P. 937.
- 10. *Куличихин В.Г., Платэ Н.А.* // Высокомолек. соед. А. 1991. Т. 33. № 1. Р. 3.
- 11. *Jackson W.J.* // Mol. Cryst. Liq. Cryst. Incorporating Nonlinear Optics. 1989. V. 169. № 1. P. 23.
- 12. *Economy J. //* Mol. Cryst. Liq. Cryst. Incorporating Nonlinear Optics. 1989. V. 169. № 1. P. 1.
- 13. Cottis S.G., Economy J., Wohrer L.C. Pat. 3975487 USA 1976.
- 14. *Volksen W., Lyerla Jr., Economy J., Dawson B. //* J. Polym. Sci., Polym. Chem. 1983. V. 21. № 8. P. 2249.
- Konishi A., Hamaguchi. M., Umetsu H. Pat. 2016/0145380 USA. 2016.
- 16. *Jackson W.J.*, *Kuhfuss H.F.* // J. Polym. Sci., Polym. Chem. 1996. V. 34. № 15. P. 3031.
- 17. Jackson W.J., Kuhfuss H.F. Pat. 3804805 USA. 1974.
- 18. Calundann G.W. Pat. 4161470 USA. 1979.
- 19. *Platé N.A.*, *Kulichikhin V.G.*, *Talroze R.V.* // Pure Appl. Chem. 1991. V. 63. № 7. P. 925.

- 20. Юльчибаев Б.А., Артыкова З.Б., Уринов Е.У., Ашуров Н.Р., Стрелец Б.Х., Куличихин В.Г. // Высокомолек. соед. Б. 1992. Т. 34. № 5. С. 23.
- 21. *Юльчибаев Б.А.*, *Пефилов А.Н.*, *Уринов Е.У.*, *Ашуров Н.Р.*, *Стрелец Б.Х.*, *Куличихин В.Г.* // Высокомолек. соед. А. 1992. Т. 34. № 11. С. 69.
- 22. Юльчибаев Б.А., Пефилов А.Н., Стрелец Б.Х., Куличихин В.Г. // Высокомолек. соед. Б. 1995. Т. 37. № 1. С. 166.
- 23. *Gilkey Russell, Caldwell John R.* // J. Appl. Polym. Sci. 1959. V. 2. № 5. P. 198.
- 24. Heifferon Katherine V., Spiering Glenn A., Talley Samantha J., Hegde Maruti, Moore Robert B., Turner S. Richard, Long Timothy E. // Polym. Chem. 2019. V. 10. № 31. P. 4287.
- 25. Mikhaylov Pavel A., Zuev Kirill V., Filatova Marina P., Strelets Boris Kh., Kulichikhin Valery G. // Polymers. 2021. V. 13. № 11. P. 1720.

- 26. Mikhailov P.A., Kalita A.G., Zuev K.V., Kramarev D.V., Ushakova O.B., Kulichikhin V.G. // Polymer Science. 2021. V. 63. № 6. P. 427.
- 27. *Kricheldorf Hans R., Schwarz G.* // Polymer. 1984. V. 25. № 4. P. 520.
- 28. *Yang D.K., Krigbaum W.R.* // J. Polym. Sci., Polym. Phys. 1989. V. 27. № 4. P. 819.
- 29. Sauer Bryan B., Beckerbauer Richard, Wang Lixiao // J. Polym. Sci., Polym. Phys. 1993. V. 31. № 12. P. 1861.
- 30. *Yerlikaya Z., Aksoy S., Bayramli E. //* J. Polym. Sci., Polym. Chem. 2001. V. 39. № 19. P. 3263.
- 31. *Yerlikaya Z., Aksoy S., Bayramli E.* // J. Appl. Polym. Sci. 2003. V. 90. № 12. P. 3260.
- 32. Schwarz Gert, Kricheldorf Hans R. // Makromol. Chem., Rapid Commun. 1988. V. 9. № 10. P. 717.
- 33. *Qian Chen, Baird Donald G.* // Polymer. 2016. V. 102. P. 63.